

金沢大学 正 ○ニホ幹夫
 愛媛大学 正 ハ木則男
 金沢大学 正 西田義親

はじめに

擾乱を受けた粘土が時間の経過に伴ってその力学的性質を変える。いわゆるチキソトロピー現象は、粘土サスペンション、あるいは高含水比状態で著しいことはよく知られている。しかし実際の工事、例えば、盛土工事、または粘性土地盤に打込まれた杭周辺地盤などのチキソトロピー現象を考えると、これらの状態の土の含水比は、液性限界に比較してかなり低い状態にあると思われ。従って、そのチキソトロピックな挙動も高含水比の場合と異なることが予想される。含水比が低くなると、粘土のチキソトロピーによる強度回復が少なくなることは既に報告されている。⁽¹⁾⁽²⁾ 本報告は、この様な低含水比での粘土のチキソトロピックな挙動が開拓土の物理化学的特性により、いかに変化するかについて行なった実験的研究である。

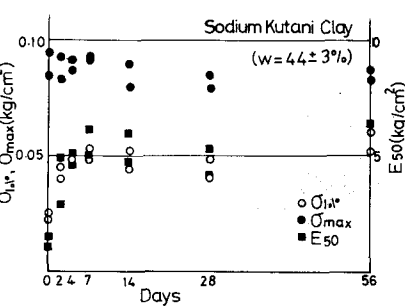
試料および実験方法

使用した粘土はカオリーン系の粘土を主成分とする九谷粘土、および市販のベントナイトである。既報の方法⁽³⁾により九谷粘土については H^+ , Ca^{2+} , Na^+ で陽イオン交換(0.1N)を行ない、ベントナイトについては Ca^{2+} (1N, 0.01N)で陽イオン交換を行なったものを試料とした。各試料の物性を表-1に示す。各試料は大型圧縮容器により予圧縮したものを適当な大きさに切り出し、ゴムスリーブで包み空気を十分抜き出した後30分間練り返した。その後、所定の日数、温度20±1°Cで養生を行なった。現在までに実施した試験は、九谷粘土については、標準圧縮試験、一軸圧縮試験、非排水三軸りべープ試験、ベントナイト試験については、一軸圧縮試験、圧縮非排水三軸試験である。

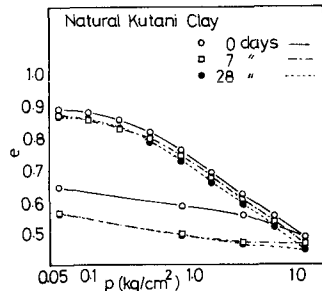
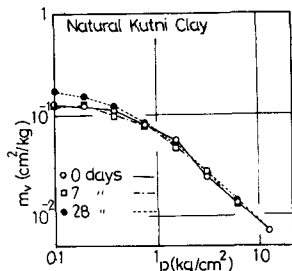
実験結果および考察

図-1は未処理の九谷粘土の $e \sim \log P$ 曲線、 $m_n \sim \log P$ 曲線を描いたものであるが、チキソトロピーによると思われる影響は認められない。これらの関係は他の試料についても同様である。図-3は九谷(Na+, B試料)粘土の一軸圧縮試験から得られた一軸

圧縮強度 G_{max} 、軸ひずみが1.0%⁴⁾ の時にかかる軸応力(E_{50})、および

図-3 G_{max} , E_{50} ~ 養生日数

	L.L	P.L	I _P	G _s	CEC
A 九谷(未処理)	65.1	25.2	39.9	2.59	8.09
B 九谷(Ca^{2+})	57.2	24.3	32.9	2.60	7.16
C 九谷(Na^+)	64.1	23.3	40.8	2.61	7.02
D 九谷(H^+)	63.9	27.8	36.1	2.60	7.16
E ベントナイト(Ca^{2+} 交換)	107.9	39.2	68.7	2.63	60.14
F ベントナイト(Na^+)	127.7	42.6	85.1	2.63	60.14

図-1 $e \sim \log P$ 曲線図-2 $m_n \sim \log P$ 曲線

種類により幾分この傾向は異なりNa粘土のチキットロピックな挙動が一番強い。これらについて練り返し直後の $\eta\%$ (以下と記す), E_{50}^n に対する日養生後の $\eta\%$, E_{50}^n の比と養生日数との関係を陽イオンの種類をパラメータとして描いたのが図-4, 5である。

図-6はE粘土試料に実して行なった圧密非排水三軸試験(周圧 $2kN/cm^2$, $3kN/cm^2$)の剛差応力の最大値と養生日数との関係を示したので

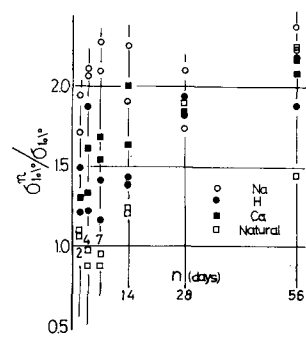
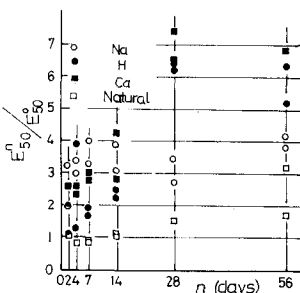


図-4 E_{50}^n / E_{50} ~ 養生日数
あるが、いずれの場合も練り返し時の含水比(W)、圧密圧力の影響が大きく、チキットロピーの影響は認められない。図-7は練り返し直後、および養生日数20日前のA粘土に対して行なった三軸非排水クリープ試験の結果を示したものであるが、この場合も特にチキットロピーによると思われる差違は明らかではない。しかし、図-8は図-7から求められた遅延時間の分布関数を示したものであるが、養生した方が、練り返し直後の試料よりも分布密度が滑らかであり、一般のVoigt模型で考えれば養生した方が類似した遅延時間を持つVoigt模型の連続したモデルで表わしうることを示している。両者の差違はクリープ初期において顕著である。

以上実験結果だけを述べてきたが、熱力学的運動が無視される粗大粒子において、ましてや、低含水比状態であればなおさらであるが、チキットロピーの原因を求める上とすれば、間げき水特に吸着水の性状に求めることは自然のように思われる。せん断初期の段階から破壊に至るまでに抵抗する粘土+水系の抵抗様式はLambe⁽¹⁾を提案しているように一様ではなく特にせん断初期においては粘着力が重要な要素となる。従って養生することによって構造がある程度回復すると思われる吸着水層に起因して $\eta\%$, E_{50}^n の回復が認められるが、それが破壊されてしま、以後のせん断強度には影響が少ないと考えられる。また本実験より打込み周囲の搅乱粘土のように、低含水比で練り返えされ、再圧密されるような場合の強度増加については、チキットロピーの影響は考える必要はなく、圧密による強度増加のみを考えればよさうである。しかし以前より報告しているように、この時の粘土のせん断特性は、原地盤の粘土のせん断特性ではなく、その粘土をそのまま練り返し、再圧密した粘土のせん断特性になることに注意しなければならない。⁽⁵⁾

参考文献

- (1) Mitchell, J.K (1966) "Fundamental Aspects of Thixotropy in Soils" ASCE 16, 2522 pp. 19-52.
- (2) Seed, H.B and Chan C.K (1975) "The Thixotropic Characteristic of Compacted Clays" ASCE Vol. 101 No. SM4 1924-1-1927: 35
- (3) 八木, 西田, 大島 (1974) "往復交換を行なった粘土の強度定数について" 第19回国土質工学研究発表会講演集 PP275
- (4) 西田, 松井, 八木 (1973) "搅乱粘土の強度回復に関する物理化学的考察" 第18回国土質工学研究発表会講演集 PP87
- (5) 八木, 西田, 稲寺 (1976) "練り返し再圧密のせん断特性" 第11回国土質工学研究発表会講演集 PP307 ~ 310

図-5 $\eta\% / \eta\%_0$ ~ 養生日数

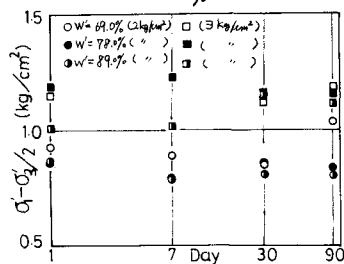


図-6 E_{50}^n / E_{50} ~ 養生日数

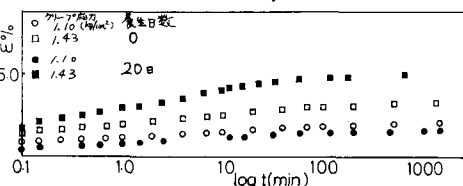


図-7 クリープひずみ ~ 時間

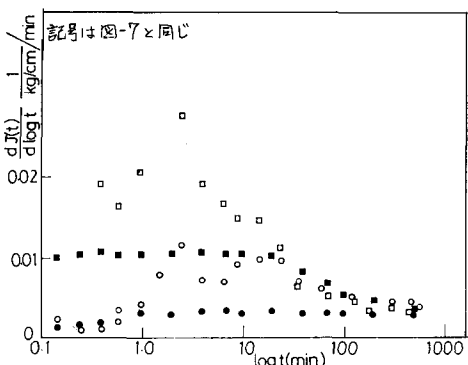


図-8 遅延時間の分布密度